

مقاله تحقیقی

کلونینگ و بیان آسپاراژیناز در باکتری *Escherichia coli*

مریم قانع^{۱*}، بیژن بمبهی^۲، فاطمه تابنده^۳، مژگان قانع^۴

۱. استادیار میکروبیولوژی، دانشگاه آزاد اسلامی، واحد اسلامشهر، گروه زیست شناسی، اسلامشهر، ایران
۲. استادیار بیولوژی مولکولی، پژوهشگاه ملی مهندسی ژنتیک و زیستفناوری، گروه صنایع تخمیری، کرج، ایران
۳. استادیار بیوتکنولوژی، پژوهشگاه ملی مهندسی ژنتیک و زیستفناوری، گروه صنایع تخمیری، کرج، ایران
۴. کارشناس ارشد شیمی کاربردی، دانشگاه آزاد اسلامی، واحد اسلامشهر، گروه شیمی، اسلامشهر، ایران

*مسؤول مکاتبات: دکتر مریم قانع، دانشگاه آزاد اسلامی، واحد اسلامشهر، گروه زیست شناسی، اسلامشهر، ایران، تلفن

۰۹۱۲۵۱۳۳۸۱۵، صندوق پستی ۳۳۱۳۵/۳۶۹، پست الکترونیکی: maryamghaneh@yahoo.com

محل انجام تحقیق: پژوهشگاه ملی مهندسی ژنتیک و زیستفناوری

تاریخ پذیرش: ۱۱/۱/۸۹

تاریخ دریافت: ۲۶/۵/۸۹

چکیده

آنزیم L-آسپاراژیناز هیدرولیز اسید آمینه L-آسپاراتات و آمونیوم را کاتالیز می‌کند. آنزیم-های با فعالیت آسپاراژینازی، نقش مهمی در متابولیسم کلیه موجودات به عهده دارند و در داروسازی نیز حائز اهمیت هستند. آنزیم آسپاراژیناز II، یکی از داروهای شناخته شده در درمان لوکمیای لنفوبلاستیک حاد است. در این تحقیق به منظور دستیابی به مقادیر بالای آنزیم، ژن آسپاراژیناز (ansB) با تکنیک PCR و با استفاده از پرایمرهای اختصاصی طراحی شده از باکتری *E. coli* DH5α جدا شد. قطعه موردنظر که اندازه‌ای حدود ۱۰۴۷bp داشت، با دو آنزیم *NdeI* / *Sac I* بریده شد و در جایگاه مشابه در پلاسمید pET21a در پایین دست پرومотор T7 کلون شد. پلاسمید نوترکیب، وارد باکتری *E. coli* DH5 α گردید. پس از تایید کلونینگ با استفاده از PCR و برش آنزیمی، پلاسمید نوترکیب، وارد باکتری BL21 گردید و پس از القاء با غلظت ۱ میلی مolar، بیان ژن با استفاده از SDS-PAGE و سنجش فعالیت آنزیمی تایید شد. حضور باند حدود ۳۵ کیلو Dalton در SDS-PAGE بیان ژن را اثبات نمود. برای سنجش فعالیت، از روش سنجش میزان آمونیاک تولید شده، استفاده شد. روش سنجش فعالیت آنزیمی میزان ۸۶ Unit/ml آنزیم را نشان داد. پرومотор قوی T7 منجر به تولید مقادیر بالایی از آنزیم گردید؛ به طوری که فعالیت آن بیش از ۲۰ برابر فعالیت آن در سویه وحشی بود. به علاوه، میزان بالای پروتئین تولید شده در محلول رویی نشانگر تولید خارج سلولی پروتئین فوق است که خالص سازی آن را آسان‌تر خواهد کرد.

واژه‌های کلیدی: آسپاراژیناز II، بیان، فعالیت آنزیمی، *ansB*, *E. coli*

مقدمه

L-آسپاراژیناز (L-آسپاراژیناز آمیدوهیدرولاز) آنزیمی است که هیدرولیز اسید آمینه ال آسپاراژین به L-اسید آسپاراتات و آمونیوم را کاتالیز می‌کند. دو نوع L-آسپاراژیناز وجود دارد (۱,۲). L-آسپاراژیناز I، یک آنزیم داخلی است و L-آسپاراژیناز II، خارج-سلولی بوده و در شرایط کمبود نیتروژن تولید می-

در دسترس است (۲۰). نظر به اهمیت آنزیم آسپاراژیناز در درمان بیماران مبتلا به سرطان خون، تولید آنزیم فوق در مقیاس بالا، از اهمیت ویژه‌ای برخوردار است. تحقیقات اخیر ما در خصوص غربال-گری سویه‌های باکتری *Escherichia coli* جهت تولید آنزیم آسپاراژیناز، نشان داد که سویه‌های مختلف باکتری *E. coli* حتی پس از القای بی-هوازی، میزان کمی از بروتئین فوق را تولید می‌کنند (۲۹). از آنجایی که تولید صنعتی و حتی نیمه-صنعتی آنزیم‌های صنعتی و دارویی، نیازمند کلون-هایی است که قادر به تولید آنزیم موردنظر در حد مطلوب باشند، در این تحقیق با هدف دستیابی به مقادیر بالای آنزیم آسپاراژیناز II، با استفاده از روش‌های مهندسی ژنتیک، آسپاراژیناز II به صورت نوترکیب در وکتور بیانی تحت کنترل پرومотор قوی بیان شد.

مواد و روش‌ها

سویه‌های باکتری و پلاسمیدها

باکتری‌های *E. coli* شامل سویه‌های DH5α و BL21 از پژوهشگاه مهندسی ژنتیک و زیست-فناوری، به ترتیب برای جداسازی و بیان ژن استفاده شدند. پلاسمید pET21a (Novagene USA) برای بیان ژن استفاده شد.

آماده‌سازی قطعه حاوی ژن آسپاراژیناز
برای کلونینگ ژن آسپاراژیناز (ansB) در پلاسمید pET21a، پرایمرهای طراحی شد که دارای جایگاه برش آنزیمی *NdeI/SacI* موجود در پلاسمید فوق باشد. ژن آسپاراژیناز با استفاده از دو پرایم F14 و R1 و با کمک آنزیم *Pfu* polymerase (Roche, Germany) تکثیر شد. برای تکثیر ژن ansB در *E. coli*، باکتری Yeast Extract (LB) Luria Bertani مغذی Agar 16g, NaCl 10g, Pepton 10g, 5g dH2O 1 lit کشت داده شد. پس از رشد (مرحله لگاریتمی) و جداسازی سلول‌ها از محیط کشت با

شود (۳). این دو نوع آنزیم از لحاظ بیوشیمیایی و ژنتیکی، کاملاً متفاوتند. L-آسپاراژیناز نوع II در سلول‌های پروکاریوت و یوکاریوت یافت می‌شود و تاکنون از بسیاری بافته‌های جانوران، گیاهان و باکتری‌ها جدا شده است. سوبسترا و محصول این آنزیم، هر دو نقش مهمی در متابولیسم کلیه موجودات بازی می‌کنند. بنابراین، نقش فیزیولوژیک این آنزیم، بسیار بوده و کنترل بیان و فعالیت آن موجب کنترل تعادل بین میزان اسیدهای آمینه بدن می‌شود. از سوی دیگر، چون این آنزیم، آمونیاک pH بدن می‌گردد، احتمالاً در کنترل سیستم بافری مایعات بدن نیز نقش دارد. این آنزیم مهمی است و به عنوان دارو، در درمان انواع لنفوما و لوکمیا به کار می‌رود (۴). نقش آسپاراژیناز II در درمان لوکمیای لنفویلیتیک به این دلیل است که سلول‌های سرطانی، قادر توانایی سنتز اسیدآمینه آسپاراژین دارند و وابسته به L-آسپاراژین خارجی هستند (۵,۶)، در مقایسه، سلول‌های طبیعی، قادر به سنتز آسپاراژین در سیتوپلاسم خود هستند (۷). با تجزیه L-آسپاراژین توسط L-آسپاراژیناز II، سلول‌های سرطانی، در معرض فقر آسپاراژین قرار گرفته و از بین می‌روند. L-آسپاراژیناز نوع II، از تعداد زیادی از میکروارگانیسم‌ها مانند *Escherichia coli* (۸, ۹), *Erwinia* (۱۰, ۱۱), *Erwinia cartorova*, (۱۲) *Candida utilis*, (۱۳) *chrysanthemi*, (۱۴) *Entrobacter aeruginosa*, (۱۵) *Pseudomonas aeruginosa* (۱۶) *Thermus thermophilus* و *E. coli*، آسپاراژیناز تولید شده توسط *Erwinia chrysanthemi* است. *Erwinia chrysanthemi* و به عنوان دارو کاربرد دارد (۳, ۱۷) و دلیل آن، میل ترکیبی بالا به سوبسترا (۴, ۱۸) و فاکتورهایی است که خالص‌سازی آنزیم از محیط کشت را تحت تاثیر قرار می‌دهند (۱۹). در حال حاضر، سه نوع آسپاراژیناز، شامل آسپاراژیناز خالص شده از PEG-(-*E. coli* آسپاراژیناز پگیله (*Erwinia asparaginase chrysanthemi*) و محصولی که از *Erwinia chrysanthemi* جدا می‌شود، برای درمان لوکمیا،

PCR مطابق با روش‌های استاندارد (۲۱) و با استفاده از پرایمرهای اختصاصی طراحی شده، با آنزیم *pfu* پلیمراز (Roche, Germany) انجام شد.

استفاده از سانتریفوژ، DNA کامل باکتری توسط کیت استخراج DNA ژنومیک (Roche, Germany) و با دستورالعمل شرکت سازنده، خالص گردید.

ansB F14: 5' CACGTAACTGCAGGAATCATATGG
NdeI

ansB R1: 5' CCGAGCTCGGTACCCGGGCAAGG
SacI

کلونینگ ژن آسپاراژیناز (Roche, Germany) مطابق روش استاندارد بریده شد (۲۱). جهت بررسی برش آنزیمی حاصله، محصول حاصل از برش آنزیمی بر روی ژل آگارز یک درصد، الکتروفورز گردید. پلاسمید خطی شده با استفاده از کیت تخلیص DNA (Roche, Germany) مطابق روش شرکت سازنده، از روی ژل استخراج شد.

کلونینگ ژن آسپاراژیناز برای کلونینگ ژن ansB در پلاسمید بیانی pET21a، قطعات حاصل از برش آنزیمی مربوط به (vector) PET21 (Insert) ansB و پلاسمید (Roche, Germany) T₄ DNA ligase آنزیم (Roche, Germany) بر روی ژل آگارز گرفت. مطابق با استخراج، مطابق روش استاندارد، به کمک آنزیم *NdeI* در پایین دست اتصال یافت؛ به طوری که ژن ansB در میان جایگاه برش آنزیمی *NdeI* پروموتور T₇ در میان جایگاه برش آنزیمی *SacI* قرار گرفت. محصول اتصال با روش شوک حرارتی، مطابق روش استاندارد (۲۱)، به داخل باکتری مستعد DH_{5α} منتقل گردید (۲۱). غربال- گری پلاسمیدهای نوترکیب با استفاده از روش PCR و برش آنزیمی، مطابق روش استاندارد انجام شد (۲۱). پلاسمید نوترکیب حاصل، pBG نامیده شد.

بیان پروتئین نوترکیب در *E. coli* برای بررسی بیان، پلاسمید pBG با روش شوک حرارتی مطابق روش استاندارد (۲۱)، وارد باکتری مستعد *E. coli* BL21 شد و بر روی محیط کشت حاوی آمپیسیلین (Roche, Germany) کشت

برنامه زمانی ۹۵°C به مدت ۵ دقیقه (۱ سیکل)، ۹۵°C به مدت ۹۰ ثانیه، ۵۸°C به مدت ۶۰ ثانیه، ۷۴°C به مدت ۶۰ ثانیه (۳۰ سیکل)، ۷۴°C به مدت ۵ دقیقه (۱ سیکل) صورت گرفت. سپس محصولات PCR بر روی ژل آگارز ادرصد (Merck, Germany) الکتروفورز گردید و پس از رنگآمیزی با اتیدیوم بروماید با استفاده از دستگاه (Uvitec England) Geldoc گرفت (۲۱) و با استفاده از کیت خالص‌سازی (Roche, Germany) PCR محصولات مطابق دستورالعمل شرکت سازنده از روی ژل آگارز خالص شد و با استفاده از دو آنزیم *NdeI* و *SacI* که در پرایمرهای F14 و R1 طراحی شده بود، مطابق روش استاندارد (۲۱) بریده شد و از روی ژل آگارز خالص گردید.

آماده‌سازی حامل کلونینگ (وکتور) pET21a، با استفاده از کیت استخراج پلاسمید (Roche, Germany) از کشت باکتریایی خالص شد. پلاسمیدی استخراج-شده، از نظر کمیت و کیفیت، توسط الکتروفورز روی ژل آگارز یک درصد مورد بررسی قرار گرفت. غلظت DNA پلاسمیدی بر اساس جذب ۲۶۰/۲۸۰ نانومتر توسط اسپکتروفوتومتر مورد بررسی قرار گرفت. با توجه به وجود جایگاه‌های برش آنزیمی NdeI و SacI در پرایمرهای F14 و R1، از آنزیم-های فوق جهت برش پلاسمید pET21 در نیز استفاده گردید. پس از استخراج DNA، پلاسمید pET21a با استفاده از دو آنزیم *NdeI* و *SacI*

این محلول جهت سنجش فعالیت آنزیمی و الکتروفورز پروتئین، مورد استفاده قرار گرفت. برای الکتروفورز پروتئین، به ازای هر میلی لیتر مایع رویی مرحله قبل، ۱۲۰ میکرولیتر تری کلرواستیک اسید (TCA) صد درصد اضافه شد و پس از سانتریفوژ در دمای ۴°C در ۱۳۰۰ rpm، به مدت ۵ دقیقه در دمای ۴°C رسوب مطابق روش استاندارد (۲۱) توسط SDS-PAGE بررسی شد.

تعیین فعالیت آنزیمی آسپاراژیناز II تولید شده

یک واحد آنزیم آسپاراژیناز II، مقداری از آنزیم است که در مدت ۱ دقیقه در دمای ۳۷°C میکرومول آمونیاک را در محیط آزاد می‌سازد. جهت تعیین فعالیت آنزیمی آسپاراژیناز II، پس از رسوب-دادن باکتری از محیط کشت، از محلول رویی و نیز عصاره پری‌پلاسمی باکتری که در مرحله قبل به-دست آمده بود، رقت‌های لازم ساخته شد و برای تعیین فعالیت بیولوژیک آنزیم، از روش نسل استفاده شد (۲۹).

نتایج

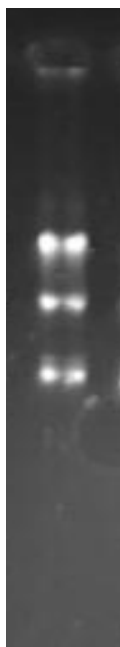
آماده‌سازی قطعه حاوی ژن آسپاراژیناز و حامل کلونینگ (وکتور)

تصویر ۱، ژنوم کامل باکتری را روی ژل آگارز ۱ در صد نشان می‌دهد. قطعه حاصل از PCR با استفاده از پرایمرهای اختصاصی طراحی شده روی ژل آگارز، با توجه به مارکر، اندازه‌ای حدود ۱۰۴۷ pb داشت که با اندازه ژن آسپاراژیناز مطابقت داشت. تصویر ۲، محصول PCR پس از برش آنزیمی با استفاده از دو آنزیم *NdeI* و *SacI* و تصویر ۳، نتایج حاصل از استخراج پلاسمید pET21a برای آماده-سازی وکتور را نشان می‌دهند.

غربال‌گری پلاسمیدهای نوترکیب

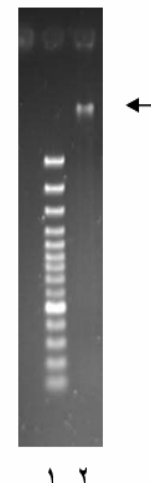
نتایج حاصل از غربال‌گری پلاسمیدهای نوترکیب در تصاویر ۴ و ۵ مشاهده می‌شود. قطعه حاصل از PCR با پرایمرهای R1 و F14 و نیز برش DNA

شد. یک کلنسی تک از سویه نوترکیب باکتری *E. coli* و نیز باکتری سویه BL21 حاوی پلاسمید pET21 که در محیط LB جامد کشت داده شده بود، جدا گردید و هر یک در ۳ میلی لیتر محیط M9 تغییریافته با ترکیب Na₂HPO₄ 2H₂O ۰.۵g NaCl ۰.۵g KH₂PO₄ ۰.۸g dH₂O Maltose ۱g، L-asparagine ۱۰g pH = ۷ با ۱lit C ۳۷ در انکوباتور شیکردار با ۲۰۰ دور در دقیقه به طور شبانه، گرم‌آگذاری گردید. سپس ۱ میلی لیتر از کشت شبانه، به داخل فلاسک حاوی ۵۰ml از محیط کشت فوق تلقیح شد و در دمای ۳۷°C در انکوباتور شیکردار با ۲۰۰ دور در دقیقه، گرم‌آگذاری شد. هنگامی که پس از گذشت ۲ ساعت، جذب نمونه‌ها در طول موج ۶۰۰nm به ۱ رسید (انتها فاز لگاریتمی)، برای الفا، از IPTG با غلظت ۱ میلی مولار استفاده شد و به مدت ۴ ساعت در فلاسک در دمای ۳۷°C گرم‌آگذاری گردید و در فواصل زمانی ۱ ساعت، نمونه‌گیری انجام شد. پس از رسوب‌دادن باکتری، محلول رویی کشت‌های فوق، جهت بیان خارج‌سلولی و رسوب باکتری، جهت بیان پری‌پلاسمی آسپاراژیناز با استفاده از الکتروفورز پروتئین مطابق روش استاندارد (۲۱)، توسط SDS-PAGE مورد بررسی قرار گرفت. برای مطالعه بیان پری‌پلاسمی آسپاراژیناز II، باکتری‌های فوق به روش زیر جدا شد. برای مطالعه پروتئین‌های پری‌پلاسمی باکتری‌های فوق، کشت باکتری به مدت ۱۵ دقیقه روی یخ سرد شد و با سانتریفوژ با دور ۵۰۰۰ rpm، به مدت ۵ دقیقه در دمای اتاق، سلول‌های باکتری رسوب داده شد. رسوب سلول‌های باکتری در بافر (TES) Tris-EDTA- Sucrose سرد با ترکیب pH = 7. Tris-HCl ۰.۲M Sucrose ۰.۵M میکرولیتر به ازای هر میلی لیتر کشت باکتری مخلوط شد و به مدت ۱۵-۳۰ دقیقه روی یخ سرد شد و با افزودن آب مقطر سرد به نمونه و قرار دادن مجدد آن در یخ، در ۱۳۰۰ rpm به مدت ۳۰ دقیقه در دمای ۴°C سانتریفوژ شد و محلول رویی که حاوی محتويات پری‌پلاسمی باکتری است، جدا شد.

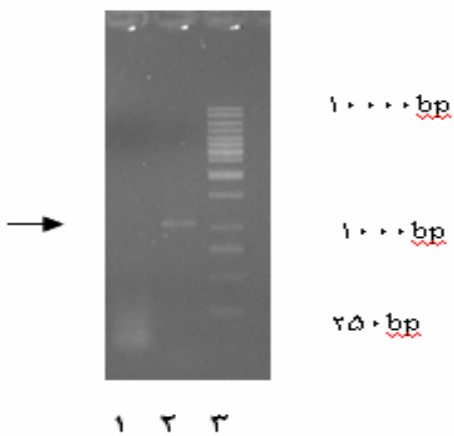


تصویر ۳- الکتروفورز DNA پلاسمید PET21 پس از استخراج از باکتری *E.coli* DH5α

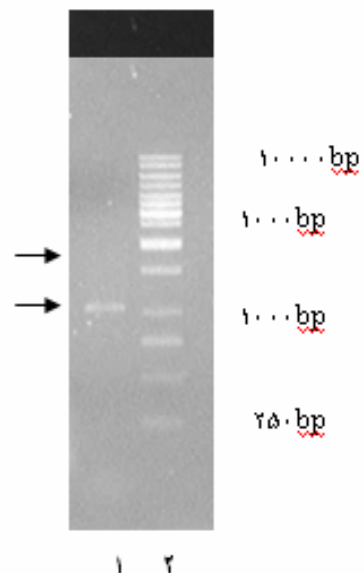
پلاسمید نوترکیب با آنزیمهای برش دهنده *NdeI* و *SacI*، کلونینگ ژن آسپاراژیناز را تایید کرد.



تصویر ۱- الکتروفورز ژنوم کامل *E. coli* DH5α روی ژل آگارز یک درصد. ستون ۱: مارکر وزن مولکولی DH5α؛ ستون ۲: ژنوم کامل سویه ۱۰۰ pb



تصویر ۴- الکتروفورز محصول PCR کلون نوترکیب.
ستون ۱: کنترل منفی؛ ستون ۲: محصول PCR؛ ستون ۳: مارکر وزن مولکولی ۱ Kb.

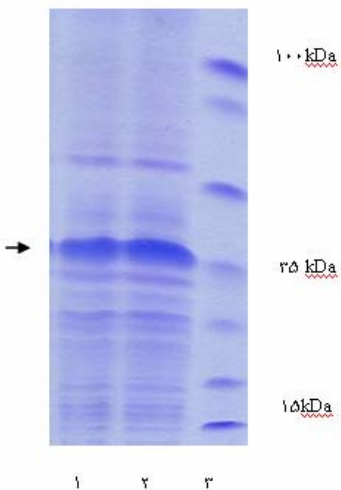


تصویر ۲- الکتروفورز محصول PCR سویه *E. coli* با پرایمرهای R1 و F14 روی ژل آگارز یک درصد که با دو آنزیم *Nde I/Sac I* بریده شده است.
ستون ۱: محصول PCR برش یافته؛ ستون ۲: مارکر وزن مولکولی ۱ Kb.

بیان پروتئین آسپاراژیناز در پلاسمید نوترکیب و تعیین فعالیت آنزیمی

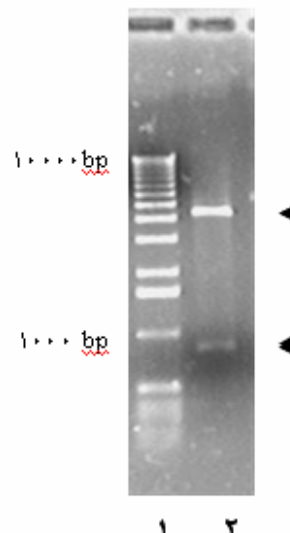
تصویر ۶، بیان پروتئین آسپاراژیناز را ۴ ساعت پس از الفا با IPTG، در پلاسمید نوترکیب نشان می‌دهد. همان‌گونه که در تصویر مشاهده می‌شود، باند حدوداً ۳۵ کیلو Daltonی که با اندازه منوم آسپاراژیناز طبیعی مطابقت دارد، نشان‌دهنده تولید

روش نسلر نشان داد که آنزیم قادر است میزان $23/5$ میکرومول آمونیاک را که معادل Unit/ml ۸۶ است، تولید نماید.



تصویر ۷ - آنالیز SDS-PAGE سوپرناکنت‌های حاوی آنزیم آسپاراژیناز، ستون ۱ و ۲: به ترتیب در ۲ و ۴ ساعت پس از القا؛ ستون ۳: مارکر وزن مولکولی.

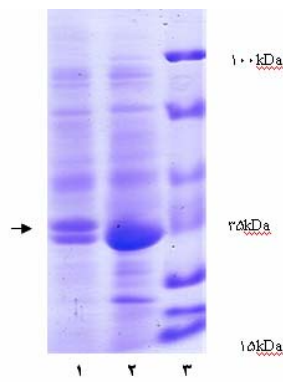
آسپاراژیناز است، به علاوه، میزان تولید آسپاراژیناز در محلول رویی، بسیار بیشتر است.



تصویر ۵- الکتروفورز محصول اثر دو آنزیم *Nde I/Sac I* بر پلاسمید نوترکیب روی ژل آگارز یکدرصد. ستون ۱: مارکر وزن مولکولی ۱kb؛ ستون ۲: قطعات حاصل از برش آنزیمی.

بحث

آنزیم L-آسپاراژیناز، در درمان انواع سرطان، موثر بوده و در حال حاضر، L-آسپاراژیناز تجاری در درمان مولکولی لوکمیای لنفوblastیک حاد و ملانوسارکوما، انقلابی بزرگ ایجاد کرده است. لذا، تحقیقات بیشتر در این زمینه، برای دستیابی به میزان قابل ملاحظه آنزیم، حائز اهمیت است. از آن-جایی که برای تولید صنعتی و حتی نیمه‌صنعتی آنزیم‌های صنعتی و دارویی، به کلون‌هایی نیاز است که قادر به تولید آنزیم موردنظر در حد مطلوب باشند؛ در این تحقیق، پروتئین آسپاراژیناز، با استفاده از روش‌های مهندسی ژنتیک به صورت نوترکیب بیان شد. نتایج تحقیق حاضر، سطح بالای بیان پروتئین آسپاراژیناز را نشان می‌دهد. پلاسمید بیان پروتئین آسپاراژیناز را نشان می‌دهد. pET21a (pET21a DH5α ansB) از باکتری E. coli پس از PCR، اندازه‌ای حدود ۱۰۴۷ bp را نشان داد، که با مطالعات انجام شده توسط Jenning و Bonthonron مطابقت دارد (۲۲، ۲۳). مطالعه بیان پروتئین در عصاره پری‌پلاسمی و محیط کشت باکتری میزان (E. coli BL21(DE3)) با



تصویر ۶: الکتروفورز عصاره پری‌پلاسمی باکتری و محلول رویی سویه BL21(DE3) حاوی پلاسمید نوترکیب توسط ۱۳ SDS-PAGE. ستون ۱: عصاره پری‌پلاسمی باکتری؛ ستون ۲: محلول رویی، ۴ ساعت پس از القا با IPTG؛ ستون شماره ۳: مارکر وزن مولکولی.

تصویر ۷، آنالیز SDS-PAGE سوپرناکنت‌های حاوی آنزیم آسپاراژیناز در زمان‌های ۲ و ۴ ساعت پس از القا را نشان می‌دهد. همان‌گونه که در تصویر مشاهده می‌شود، میزان تولید آنزیم در زمان ۴ ساعت پس از القا، بیشتر است. تعیین فعالیت آنزیمی به

باکتری *E. coli* بوده و سطوح بالای بیان پروتئین هدف، در صورت القا در فاز سکون رخ می دهد (۲۷). در عین حال، حلالیت بالاتر پروتئین نوترکیب و سرعت پایین تجزیه پروتئولیتیک در صورت القاء، در انتهای فاز لگاریتمی، باعث افزایش بیان پروتئین نوترکیب می شود (۲۸). در این تحقیق مشاهده شد که القاء در انتهای فاز لگاریتمی، باعث افزایش بیان می شود. میزان فوق در مقایسه با نوع وحشی، بسیار بالاتر بوده و بیش از ۲۰ برابر سویه وحشی است (۲۹). نتایج حاصل از این تحقیق، بیان موفقیت آمیز پروتئین آسپاراژیناز را نشان می دهد. بدیهی است با بهینه سازی شرایط رشد باکتری نوترکیب، میزان بیان بالاتر خواهد بود.

تشکر و قدردانی

بدینوسیله از معاونت پژوهشی دانشگاه آزاد اسلامی واحد اسلامشهر صمیمانه سپاسگزاری می شود.

استفاده از SDS-PAGE باند تقریباً ۳۵ کیلودالتونی را نشان داد که با مطالعات انجام شده توسط Herrmann و Kozak مطابقت دارد (۲۴، ۲۵). میزان تولید پروتئین در محلول رویی، بسیار بالاتر از عصاره باکتری بود که این خود، دال بر ترشح خارج سبلولی آن است. این مطلب با مطالعات انجام شده توسط Bonthon و همکاران که نشان داده بودند پروتئین آسپاراژیناز دارای توالی سیگنال است، مطابقت دارد (۲۶). بررسی فعالیت بیولوژیکی محلول رویی حاوی آنزیم نشان داد که آنزیم قادر است میزان بالایی از آمونیاک معادل ۸۶ Unit/ml را تولید نماید که نشان دهنده سطح بالای بیان است. این میزان در مقایسه با مطالعات انجام شده توسط قانع و همکاران که در آن، میزان تولید آسپاراژیناز در محیط کشت عاری از باکتری و عصاره پری پلاسمی باکتری *E. coli* سویه های LAB K12, DH5α در شرایط بی هوازی حداقل ۳/۶ U/ml بود، بسیار بالاتر است (۲۶). به طور معمول، سطوح بالای بیان پروتئین به دنبال سرعت بالای رشد رخ می دهد (۲۶). بیان بالای پروتئین در فاز سکون، یک ویژگی مهم

منابع مورد استفاده

۱. - قانع، م. بمبهی، ب. قانع، م. غربالگری سویه های باکتری *Escherichia coli* جهت تولید resensitve lymphoma cells. J Exptl Med 127: 1053-1080.
۲. Campbell, H., Mashburn, L., Boys, E., 1967. Two L-asparaginase from *E. coli* their separation, purification and anti tumor activity. Biochem 6: 721-726.
۳. Mathews, W., Brown, H., 1974. Isolation of two L-asparaginase from guinea pig liver. Enzyme 17: 276-280.
۴. Magdy, M., Mohammad, A., 2008. Cloning, purification, characterization and immobilization of L-asparaginase II from *E. coli* W3110. Asian Journal of Biochemistry 3: 337-350.
۵. Verma, N., Kumar, K., Kaur, G., Anand, S., 2007. A promising chemotherapeutic agent. Crit Rev Biotechnol 27: 45-62.
۶. Broome, J. D., 1968. Studies on the mechanism of tumor inhibition by L-asparaginase. Effects of the enzyme on asparagine levels in blood, normal tissue, and 6C3HED lymphomas of mice: Differences in asparagine formation and utilization in asparagine sensitive and
۷. Lee, S. M., Wroble, M. H., Ross, J. T., 1989. Lasparaginase from *Erwinia carotovora* an improved recovery and purification process using affinity chromatography. Applied Biochem Biotechnol 22: 1-11.
۸. Duval, M., Suciu, S., Ferster, A., Rialland, X., Nelken, B., 2002. Comparison of *E. coli* asparaginase with *Erwinia* asparaginase in the treatment of childhood lymphoid malignancies. Blood 99: 2734-2739.
۹. Derst, C., Wehner, A., Specht, V., Rohm, K. H., 1994. State and function of tyrosine residues in *E. coli* asparaginase II. Eur J Biochem 224: 533-540.
۱۰. Khushoo, A., Pal, Y., Singh, B. N., Mukerjee, K. J., 2004. Extracellular expression and single step purification of recombinant *E. coli* L-asparaginase II. Protein Expression Purificant 38: 29-39.

11. Aghaipour, K., Wlodowes, A., Lubkowwski, J., 2001. Structural basis for activity and substrate specificity of *Erwinia chrysanthemi* L-asparaginase. *Biochemistry* 40: 5655-5664.
12. Borisova, A. A., Eldarov, M. A., Zgoon, A. A., 2003. Purification and some properties of recombinant *Erwinia carotovora* L-asparaginase expressed in *E. coli* cell. *Biomedit Sinskaya Kimiya* 49: 502-507.
13. Kotzia, G. A., Labrou, N. E., 2007. L-asparaginase from *Erwinia chrysanthemi* 3937: Cloning, expression and characterization. *J Biotechnol* 127: 657-669.
14. Kil, J. O., Kim, G. N., Park, I., 1995. Extraction of extracellular L-asparaginase from *Candida utilis*. *Biosci Biotechnol Biochem* 59: 749-750.
15. Mukherjee, J., Majumadar, S., Schepers, T., 2000. Studies of nutritional and oxygen requirements for production of L-asparaginase by *Enterobacter aerogenes*. *Applied Microbial Biotechnol* 53:180-184.
16. El-Bessoumy, A., Sarhan, M., Mansour, J., 2003. Production, isolation and purification of L-asparaginase *Pseudomonas aeruginosa* 5007I using solid state fermentation. *J Biochem Mol Biol* 12: 387-393.
17. Prista, A. A., Kyridio, D. A., 2001. L-asparaginase of *Thermus thermophilus*: purification, properties and identification of essential amino acids for catalytic activity. *Mol Cell Biochem* 216: 93-101.
18. Avramis, V. I., Panosyan, E. E., 2005. Pharmacokinetic pharmacodynamic relationships of asparaginase formulation: the past, the future and recommendation for future. *Clin Pharmacokinet* 44: 367-393.
19. Schwartz, J., Reeves, Y., Broome, D., 1966. Two asparaginase from *E. coli* and their actions against tumor. *Proc Natl Acad Sci USA* 56: 1516-1519.
20. Stecher, A. L., Morgantetti, P., PoliKarpov, I., Abrahao-Neto, J., 1999. Stability of L-asparaginase. An enzyme used in leukemia treatment. *Pharmaceut Acta Helv* 74: 1-9.
21. Pieter, R., Hunger, S., Boos, J., 2011. L-asparaginase treatment in acute lymphoblastic leukemia. *Cancer* 117: 238-249.
22. Sambrok, J., Russell, D. W., Maniatis, T., 2001. Molecular cloning a laboratory manual. Cold Spring Harbor Laboratory Press (CSHL Press): 450-475.
23. Bonthon, D. T., 1990. L-asparaginase II of *Escherichia coli* K-12: cloning, mapping and sequencing of the *ansB* gene. *Gene* 91: 101-105.
24. Jenning, M., Beacham, I. R., 1990. Analysis of *E. coli* gene encoding *ansB*. *J Bacteriol* 172: 1491-1498.
25. Herrmann, V., Rohm, K., Schneider, F., 1974. On the substrate specificity of L-asparaginase from *E. coli*. *FEBS Letter* 39: 214-218.
26. Kozak, M., Jurgab, S., 2002. A comparison between the crystal and solution structures of *E. coli* asparaginase II. *Acta Biochim Pol* 49: 509-513.
27. Shorkri, A., Sanden, A. M., Larsson, G., 2002. Growth rate dependent changes in *E. coli* membrane structure and protein leakage. *Applied Microbiol Biotechnol* 58: 386-392.
28. Ou, L., Wangs, X., Ding, J., Du, Y., Zhang, H., 2004. Stationary protein overproduction is a fundamental capability of *E. coli*. *Biochem Biophys Res Commun* 314: 174-180.
29. Galloway, C. A., Sowden, M. P., Smith, H. C., 2003. Increasing the yield of soluble recombinant protein expressed in *E. coli* by induction during late log phase. *Biotechniques* 34: 524-526.